

تحلیل سازه‌های جدار نازک با استفاده از اجزای محدود خمشی - پیچشی

حسن حاجی کاظمی* و محمود عرب**

دانشکده مهندسی، دانشگاه فردوسی مشهد

نیروی دریایی جمهوری اسلامی ایران

(دریافت مقاله: ۱۳۷۶/۱/۱۸ - دریافت نسخه‌نهایی: ۱۳۷۶/۶/۴)

چکیده - در این مقاله یک جزء محدود تیری برای تحلیل سازه‌های جدار نازک معادله سازی شده و اثر تنشهای برشی ثانویه بر تغییر شکل‌های طولی در نظر گرفته شده است. از مشخصه‌های این جزء محدود، آن است که عناصر ماتریس سختی به طور صریح به دست می‌آید و نیاز به انتگرال‌گیری عددی نیست. تابع درونیاب مورد استفاده برای این جزء، مبتنی بر پیاسخ معادله دیفرانسیل پیچش گیردار است. بنابراین دقت و همگرایی آن بسیار زیاد است و فقط با به کار بردن یک جزء می‌توان به نتایج مناسب دست یافته. افزون بر آن، به خاطر همگرایی خوب این جزء محدود، می‌توان از آن در تحلیل انواع تیرهای جدار نازک مستقیم یا منحنی و با مقطع باز، بسته و نیمه بسته نیز استفاده کرد.

Analysis of Thin-Walled Structures Using Torsional-Bending Elements

H. Hajl-Kazemi and M. Arab

Department of Civil Engineering, Ferdowsi University of Mashhad

Navy Force of Islamic Republic of Iran

ABSTRACT- In this paper a new element for analysis of thin-walled structures is presented, and the effects of secondary shear stresses on longitudinal displacements are examined. Since the Interpolation Functions are based on non-uniform torsional differential equations, the analysis of stiffness matrix is facilitated. Therefore, its ability to produce accurate results with the least number of elements is considerably improved. Furthermore, this element can be used in the analysis of all kinds of thin-walled, straight or curved beams with open or closed sections.

* دانشیار ** کارشناس ارشد

فهرست علائم

تابع تابیدگی	$\Psi(z)$	لنگر پیچشی مرکز	M_z	بردار ضرایب نامعین	{a}
دوران حول محورهای مختصات	θ_x و θ_y	لنگر پیچشی گستردۀ	$m(z)$		[B_θ'] [$B\Psi'$]
کرنش محوری		یکنواخت		ماتریسهای کنش	[$B\Psi\theta'$]
کرنش برشی	$\epsilon(z, s)$	ماتریسهای توابع شکل		بردار بارهای گرهی	{F}
تنش محوری	$\gamma(z, s)$	تابع چند جمله‌ای	$[N_\theta]$ و $[P_\theta]$	ماتریس هندسی جزء	[G]
تنش برشی	σ_ω	انرژی کنشی	U	ممان اینرسی چرخشی	I _P
بردار تغییر مکان گرهی	$\{\phi_n\}$	انرژی پتانسیل بارهای خارجی	V	ممان اینرسی تابیدگی	I _{\omega}
انرژی پتانسیل	Π_p	تغییر مکان در جهت طولی	w	ضریب ثابت پیچش	J
		عضو		ماتریس سختی	[K]
				زوج لنگر مرکز	M _B

۱ - مقدمه

تغییرشکل طولی ناشی از تابیدگی از معادله زیر محاسبه می‌شود [۲].

$$w(z, s) = -\omega(s) \theta'(z) \quad (1)$$

در معادله (۱)، $\theta'(z)$ تغییرات پیچش و ω مختصات قطاعی است. این معادله برای محاسبه تغییرشکلهای طولی مقاطع جدارنازک باز مناسب است، ولی برای مقاطع بسته که مقدار تنشهای یکنواخت روی مقطع قابل ملاحظه است دقت مناسبی ندارد. از این‌رو برای محاسبه تنشهای و تغییرشکلهای طولی در مقاطع جدارنازک بسته و نیمه‌بسته بهتر است از نظریه بنسکوت [۳] استفاده شود. در این نظریه، اثر تنشهای برشی ثانویه بر تغییرشکلهای طولی در نظر گرفته می‌شود. براساس نظریه بنسکوت، تابیدگی مقطع از معادله زیر به دست می‌آید [۴]:

$$w(z, s) = -\omega(s) \Psi(z) \quad (2)$$

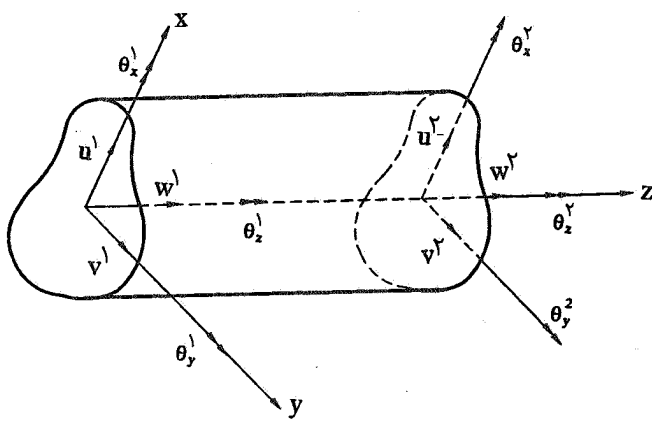
در معادله (۲)، $\Psi(z)$ تابع تابیدگی است و جایگزین (z) در معادله ولاسوف می‌شود و ω مختصات قطاعی است که برای مقاطع باز شبیه معادله (۱) بوده ولی برای مقاطع بسته متفاوت است.

در این مقاله یک جزء محدود تیری براساس نظریه بنسکوت معادله‌سازی شده و اثر تنشهای برشی ثانویه بر تغییرشکلهای طولی

در مهندسی سازه همواره سعی می‌شود که با حفظ یک مشخصه مقاومتی معین، وزن سازه به ویژه برای سازه‌های حجمی کاهش یابد. افزایش وزن به طور مستقیم باعث زیاد شدن نیروهای جانبی ناشی از زلزله می‌شود. یکی از روش‌های افزایش مقاومت سازه بدون افزایش وزن، کاربرد مقاطع جدارنازک است. سازه‌های جدارنازک در ساخت پلهای جعبه‌ای، تیرهای منحنی و هسته‌های برشی کاربرد گستردۀ دارند. سازه‌های جدارنازک از نظر شکل هندسی مقطع به دو گروه باز و بسته تقسیم می‌شوند. مقاطع باز در برابر پیچش بسیار حساس‌اند و مقاومت پیچشی کمی از خود نشان می‌دهند. ولی مقاطع بسته به ویژه مقاطع دور، دارای مقاومت پیچشی بالایی هستند.

هنگامی که یک تیر جدارنازک تحت اثر پیچش یا بارهای عرضی خارج از مرکز برش قرارگیرد، ممکن است مقطع آن علاوه بر چرخش دچار تابیدگی نیز بشود. اگر تیر قادر باشد که به‌آزادی تاب بردارد، در این صورت لنگر پیچشی وارد، تنها توسط تنشهای برشی سن و نان تحمل خواهد شد. همچنین اگر از تابیدگی آزادانه تیر جلوگیری شود، لنگر پیچشی اعمالی توسط ترکیبی از تنشهای برشی سن و نان و پیچش تابیدگی، تحمل خواهد شد.

پایه‌گذار نظریه ولاسوف، تابیدگی اعضای جدارنازک ولاسوف [۱] است. در نظریه ولاسوف، تغییرشکلهای طولی ناشی از تابیدگی مقطع در نظر گرفته می‌شود ولی از اثر تنشهای برشی ثانویه بر تغییرشکلهای طولی صرف نظر می‌شود. براساس نظریه ولاسوف،



شکل ۱ - جزء تیری ولاسوف

دیفرانسیل پیچش مقاطع بسته به دست می‌آید، استفاده می‌شود. در ادامه، توابع شکل و ماتریس سختی جزء معادله‌سازی می‌شوند. چون ماتریس سختی مربوط به درجات آزادی انتقالی و دورانی در بسیاری از کتابهای تحلیل سازه‌ها آمده است، در اینجا فقط ماتریس سختی مربوط به درجات آزادی پیچشی و تابیدگی جزء ارائه می‌شود.

۱-۲ روابط تنش - کرنش

با فرض اینکه مقطع عرضی جزء در حین تغییر شکل ثابت بماند، آن‌گاه تغییر شکلهای ناشی از پیچش نایکنواخت که در هر نقطه از مقطع جزء محدود تیری، شامل دو بخش طولی (z) و مماسی (s) هستند از معادله‌های زیر به دست می‌آیند:

$$w(z, s) = -\omega(s) \cdot \Psi(z) \quad (3)$$

$$v(z, s) = P_R \cdot \theta(z) \quad (4)$$

فاصله قائم از مرکز چرخش یا مرکز برش تا خط مماس برمقطع و P_R زاویه چرخش است. ω مختصات قطاعی است و در حالت کلی از معادله زیر محاسبه می‌شود:

$$\omega(s) = \int_s^s (P_R - \frac{\psi}{t}) ds \quad (5)$$

در معادله (۵)، t صخامت جداره و ψ تابع پیچشی است و برابر

در نظر گرفته شده است. از مشخصه‌های اصلی این جزء آن است که عناصر ماتریس سختی آن به طور صریح به دست می‌آیند و نیاز به انگرال‌گیری عددی نیست. چون تابع درونیابی انتخابی برای این جزء، یک تابع نمایی و مبتنی بر پاسخ معادله دیفرانسیل پیچش گیردار است، لذا دقت و همگرایی آن بسیار زیاد بوده و با به کاربردن آن می‌توان به نتایج قابل قبولی دست یافت. افزون بر آن، به خاطر همگرایی خوب این جزء، می‌توان از آن برای تحلیل تیرهای جدارنازک مستقیم و منحنی با مقطع باز، بسته و نیمه بسته نیز استفاده کرد.

در ادامه، نخست معادله‌سازی جزء برای محاسبه ماتریس سختی آن تشریح شده و سپس نتایج حل دو مثال عددی با نتایج حاصل از روش‌های موجود، از جمله روش ولاسوف و روش تفاضلهای محدود مقایسه می‌شود.

۲ - معادله‌سازی جزء محدود

جزء تیری ولاسوف دارای دو گره است و هر گره دارای هفت درجه آزادی، شامل سه درجه آزادی انتقالی و سه درجه آزادی دورانی و یک درجه آزادی مربوط به تابیدگی مقطع است.

برای معرفی این جزء محدود از یک سیستم مختصات محلی (x, y, z) ، مانند شکل (۱)، استفاده می‌شود. محور z در راستای محور طولی جزء و صفحات xz و yz، صفحات اصلی آن هستند. درجات آزادی انتقالی این جزء محدود در راستای محورهای مختصات محلی با (u^k, v^k, w^k) و درجات آزادی دورانی حول محورهای x و y با ($\theta_x^k = -dv/dx, \theta_y^k = du/dy$) نشان داده می‌شوند. دو درجه آزادی دیگر مربوط به چرخش و تابیدگی مقطع است که با θ_z^k و $\theta_{z,z}$ معرفی می‌شوند. اندیشهای بالا معرف موقعیت گره‌های جزء و علامت (،) معرف مشتق است.

بر پایه روش عمومی اجزای محدود ارتباط بین تغییر مکانهای گرهی با تغییر مکانهای داخلی جزء، باید از توابع شکل استفاده کرد. توابع شکل اجزای یک بعدی برای تغییر مکانهای محوری (w) خطی اند و برای تغییر مکانهای عرضی (u و v) از چند جمله‌ایهای هرمیتی استفاده می‌شود. برای تغییر شکلهای پیچشی می‌توان از توابع شکل مختلفی استفاده کرد. اکثر پژوهشگران برای این تغییر شکلهای نیز، از توابع هرمیتی استفاده کرده‌اند [۴ و ۵]. در اینجا برای افزایش دقت و همگرایی جزء محدود پیشنهادی، از توابع نمایی که از پاسخ معادله

باید توجه داشت که انرژی کرنشی محاسبه شده از معادله (۹) مربوط به تغییر شکل های مماسی و طولی جزء است و برای محاسبه انرژی کرنشی کل باید انرژی کرنشی ناشی از تنشهای برشی سن و نان که دارای توزیع خطی روی مقطع اند با آن جمع شود. انرژی کرنشی سن و نان مطابق معادله (۱۰) است:

$$U_s = \frac{1}{2} \int_0^L G J_s \theta'^2(z) dz \quad (10)$$

در معادله (۱۰)، $J_s = \frac{1}{3} \int_A t^2 dA$ ضریب ثابت پیچش مربوط به تنش برشی سن و نان است.

انرژی کرنشی کل از مجموع معادله های (۹) و (۱۰) به دست خواهد آمد:

$$U = U_1 + U_s = \frac{1}{2} \int_0^L \{ G J \theta'^2(z) + EI_\omega \Psi'^2(z) \} dz \quad (11)$$

$$+ G(I_p - J_B)(\Psi(z) - \theta'(z)) dz$$

در معادله (۱۱)، J ضریب ثابت پیچش کل است و برابر $J_s + J_B$ است. انرژی پتانسیل ناشی از بارهای خارجی نیز از معادله (۱۲) محاسبه می شود:

$$V = \int_0^L m(z) \theta(z) dz - M(L) \theta(L) - M(0) \theta(0) \quad (12)$$

$$- M_B(L) \Psi(L) - M_B(0) \Psi(0)$$

در معادله (۱۲)، $m(z)$ لنگر پیچشی گسترده، $M(z)$ لنگر پیچشی متمرکز و $M_B(z)$ زوج لنگر متمرکز در گره های زند.

انرژی پتانسیل کل، Π_P ، از مجموع معادله های (۱۱) و (۱۲) به دست می آید. اگرتابع انرژی پتانسیل کل کمینه شود، معادله (۱۳) برقرار خواهد شد:

$$\delta \Pi_P = \delta(U - V) = 0$$

$$= \int_0^L \{ G J \theta(z) + \delta \theta'(z) + EI_\omega \Psi'(z) \delta \Psi'(z) + G(I_p - J_B)(\Psi(z) - \theta'(z)) \delta(\Psi'(z) - \theta'(z)) - m(z) \delta \theta(z) \} dz - M(L) \delta \theta(L) - M(0) \delta \theta(0) - M_B(L) \delta \Psi(L) - M_B(0) \delta \Psi(0) = 0 \quad (13)$$

روی مقطع (برای مقاطع بسته)، G مدول برشی و A سطح محصور توسط خط میانی مقطع است. برای مقاطع جدار نازک باز، τ_B صفر است، لذا ψ نیز صفر بوده و در نتیجه معادله (۵) به معادله (۶) تبدیل می شود:

$$\omega(s) = \int_0^s P_R ds \quad (6)$$

کرنشی طولی و برشی با استفاده از معادله های (۳) و (۴) به دست می آیند:

$$\varepsilon(z,s) = \frac{\partial w}{\partial z} = -\omega(s) \Psi'(z)$$

$$\gamma(z,s) = \frac{\partial w}{\partial s} + \frac{\partial v_t}{\partial z} = \frac{\psi}{t} \theta'(z) \quad (7)$$

$$+ (\frac{\psi}{t} - P_R)(\Psi(z) - \theta'(z))$$

با فرض اینکه رفتار مواد از قانون هوك پیروی کند، می توان تنشهای طولی و برشی را با استفاده از معادله های بالا به صورت زیر محاسبه کرد:

$$\sigma_\omega = E \varepsilon(z,s) = -E \omega(s) \Psi'(z)$$

$$\tau(z,s) = G \gamma(z,s) = G \left(\frac{\psi}{t} \theta'(z) \right) \quad (8)$$

$$+ \left(\frac{\psi}{t} - P_R \right) (\Psi(z) - \theta'(z))$$

انرژی کرنشی ناشی از تغییر شکل های جزء، پس از جایگزینی تنشهای کرنشی معادله های (۷) و (۸) در معادله انرژی، به صورت زیر تعریف می شود.

$$U_1 = \frac{1}{2} \int_0^L \{ G J_B \theta'^2(z) + EI_\omega \Psi'^2(z) \} dz \quad (9)$$

$$+ G(I_p - J_B)(\Psi(z) - \theta'(z)) dz$$

در معادله (۹)، L طول تیر، $I_\omega = \int_A \omega^2 dA$ ممان اینرسی قطاعی و $I_p = \int_A P^2 R dA$ ممان اینرسی قطبی است که نسبت به مرکز برش محاسبه می شود و $J_B = \int_A P_R \frac{\psi}{t} dA$ ثابت پیچش در شرایط توزیع یکنواخت تنش برشی است.

در معادله (۱۸)، $[P_\theta]$ و $\{a\}$ به ترتیبتابع چندجمله‌ای و بردار ضرایب نامعین‌اند و عبارت‌اند از:

$$[P_\theta] = [e^{\gamma z} \quad e^{-\gamma z} \quad z \quad 1]$$

$$\{a\} = \{a_1, a_2, a_3, a_4\}^T$$

با استفاده از معادله (۱۶) می‌توان تابع تابیدگی را به صورت زیرنوشت:

$$\Psi(z) = [\frac{dp_\theta}{dz} + \alpha \frac{d^r P_\theta}{dz^r}] \{a\} = [P\Psi] \{a\}$$

$$[P\Psi] = [(\gamma + \alpha \gamma^r) e^{\gamma z} - (\gamma + \alpha \gamma^r) e^{-\gamma z} \quad 10] \quad (19)$$

معادله بین تغییرمکان‌های گرهی و ضرایب نامعین به صورت زیر است:

$$\{\phi_n\} = [G] \{a\}, \{\phi_n\} = \{ \theta(0) \Psi(0) \theta(L) \Psi(L) \} \quad (20)$$

ماتریس $[G]$ ، ماتریس هندسی جزء است و از قراردادن مختصات معلوم گره‌ها در معادله‌های بالا به دست می‌آید:

$$[G] = \begin{vmatrix} 1 & 1 & 0 & 1 \\ (\gamma + \alpha \gamma^r) & (\gamma + \alpha \gamma^r) & 1 & 0 \\ e^{-\gamma L} & e^{\gamma L} & L & 0 \\ (\gamma + \alpha \gamma^r)e^{\gamma L} & -(\gamma + \alpha \gamma^r)e^{-\gamma L} & 0 & 1 \end{vmatrix} \quad (21)$$

پس از وارون کردن ماتریس $[G]$ ، ضرایب نامعین محاسبه می‌شوند و با جایگزینی آنها در معادله‌های (۱۸) و (۱۹)، توابع تغییرمکان زیر به دست خواهد آمد:

$$\theta(z) = [P_\theta][G]^{-1} \{\phi_n\} = [N_\theta] \{\phi_n\}$$

$$\Psi(z) = [P\Psi][G]^{-1} \{\phi_n\} = [N_\Psi] \{\phi_n\} \quad (22)$$

$[N_\theta]$ و $[N_\Psi]$ به ترتیب توابع شکل چرخشی و تابیدگی

اکنون معادله بین تابع تابیدگی $\Psi(z)$ و زاویه چرخش $\theta(z)$ و معادله دیفرانسیل پیچش در حالت همگن (حالت $m(z) = 0$) تعیین می‌شود. با استفاده از حساب تغییرات و سپس انتگرال‌گیری جزء به جزء، معادله (۱۳) به صورت زیرنوشه می‌شود:

$$\delta \Pi_p = - \int_0^L \{ [(G(I_p + J_s) \theta''(z) - G(I_p - J_B) \Psi'(z)] \delta \theta(z) - [EI_\omega \Psi'''(z) + G(I_p - J_B)(\Psi(z) - \theta'(z)) \delta \Psi(z)] \} dz + [G(I_p + J_s) \theta'(z) \delta \theta(z)]_0^L + [EI_\omega \Psi'(z) \delta \Psi(z)]_0^L - [G(I_p - J_B) \Psi(z) \delta \theta(z)]_0^L - \delta V = 0. \quad (14)$$

چون تغییرات در گرانه‌ها صفر است و θ نیز مخالف صفر است، بنابراین برای برقراری معادله بالا باید مقدار انتگرال صفر شود. با صفر قرار دادن انتگرال، دو معادله زیر به دست می‌آید.

$$G(I_p + J_s) \theta''(z) - G(I_p - J_B) \Psi'(z) = 0. \quad (15)$$

$$EI_\omega \Psi''(z) + G(I_p - J_B)(\theta'(z) - \Psi(z)) = 0. \quad (16)$$

پس از مشتقگیری معادله (۱۵) نسبت به z و جایگزینی $\Psi''(z)$ در معادله (۱۶)، مقادیر (Ψ) و (θ) به صورت زیر خواهد شد:

$$\Psi(z) = \theta'(z) + \alpha \theta''(z), \quad \alpha = \frac{EI_\omega (I_p + J_s)}{G(I_p - J_B)}$$

$$\theta'''(z) = \gamma^r \theta''(z), \quad \gamma^r = \frac{GJ(I_p - J_B)}{EI_\omega (I_p + J_s)} \quad (17)$$

۲- توابع شکل و ماتریس سختی
برای محاسبه ماتریس سختی باید نخست تابع شکل را محاسبه کرد. چنانچه تابع تغییرمکان، پاسخ معادله دیفرانسیل پیچش گیردار برگریده شود، پاسخ معادله دیفرانسیل پیچش گیردار معادله (۱۷) به صورت زیر خواهد شد:

$$\theta(z) = [P_\theta] \{a\} \quad (18)$$

جزء محدود را به دست آورد. با ترکیب معادله های (۸) و (۲۰)، زوج لنگر و تنش محوری نیز محاسبه می شوند. تنشهای برشی در روی مقطع، شامل دو بخش اند. بخش اول ناشی از پیچش مربوط به تنش برشی سینونان است که با τ_{zs}^{sv} نشان داده می شود و بخش دیگر تنش برشی مربوط به تابیدگی مقطع است. تنش برشی مربوط به تابیدگی مقطع ناشی از پیچش گیردار است که با τ_{zs}^{ω} معرفی می شود. تنش برشی سینونان از معادله (۸) به شکل زیر قابل محاسبه است:

$$\tau_{zs}^{sv} = G \left(\frac{\psi}{t} \Psi(z) - P_R \Psi(z) + P_R \theta'(z) \right) \quad (26)$$

در معادله (۲۶)، $\theta'(z)$ با استفاده از ماتریس کرنش معادله (۲۲) محاسبه می شود. تنش برشی مربوط به تابیدگی از معادله تعادل به دست می آید:

$$\frac{\partial \tau_{zs}^{\omega}}{\partial s} + \frac{\partial \sigma_{zs}^{\omega}}{\partial z} = 0 \quad (27)$$

اندیس بالای ω در معادله (۲۷)، معرف تنشهای تابیدگی است. با ترکیب معادله های (۸) و (۲۷) و سپس انتگرالگیری از معادله به دست آمده، معادله (۲۸) حاصل خواهد شد:

$$\tau_{zs}^{\omega} - (\tau_{zs}^{\omega})_0 = - E \frac{\partial \Psi}{\partial z}(z) S_{\omega}, \quad S_{\omega} = \int^s \omega(s) ds \quad (28)$$

$\partial \Psi / \partial z(z)$ از معادله (۱۷) قابل محاسبه است. تنش برشی $(\tau_{zs}^{\omega})_0$ را می توان با استفاده از لنگر ناشی از تنشهای برشی به دست آورد.

$$M(z) = \int_A P_R G \left(\frac{\psi}{t} \Psi(z) - P_R \Psi(z) + P_R \theta'(z) \right) dA + (\tau_{zs}^{\omega})_0 \int_A dA - E \frac{\partial \Psi}{\partial z} \int_A S_{\omega} dA \quad (29)$$

در این معادله فقط تنش برشی $(\tau_{zs}^{\omega})_0$ مجهول است که پس از محاسبه آن، تنشهای برشی ناشی از تابیدگی مقطع نیز از معادله (۲۸) به دست می آید.

۴-۲ بارهای گرهی معادل
بارهای گرهی معادل با استفاده از معادله (۲۴) و توابع شکل معادله (۲۲) به دست می آیند:

جزء هستند.

برای محاسبه ماتریس سختی جزء، پس از مشتقگیری از معادله های (۲۲) و جایگزینی در معادله (۱۵) و سپس در معادله (۱۳) نتیجه زیر حاصل خواهد شد:

$$\begin{aligned} \delta \{\phi_n^t\} & \int_0^L \{ [GJ[b_\theta]^T [b_\theta] + EI_\omega [B_\Psi]^T [B_\Psi] + G(I_p - I_B) \\ & [B_{\Psi\theta}]^T [B_{\Psi\theta}]] \{\phi_n\} - \delta \{\phi_n\}^T m(z) [N_\theta]^T dz - \delta \{\phi_n\}^T \\ & \{M(0) M_B(0) M(L) M_B(L)\} = 0 \end{aligned} \quad (23)$$

برای ساده سازی معادله بالا، از معادله های زیر کمک گرفته می شود.

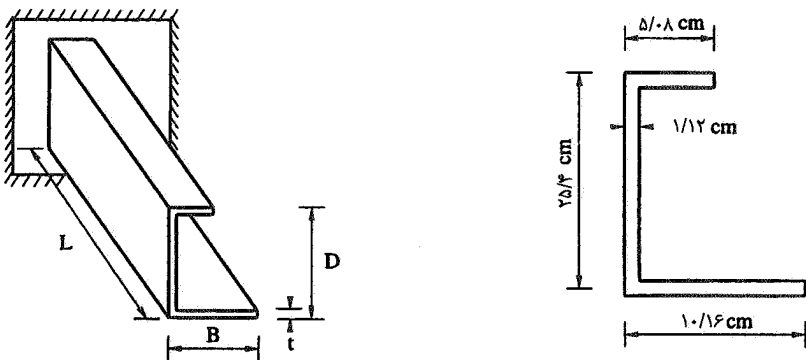
$$\begin{aligned} \{K_{\theta 1}\} &= GJ \int_0^L [B_\theta]^T [B_\theta] dz \\ \{K_{\theta 2}\} &= EI_\omega \int_0^L [B_\Psi]^T [B_\Psi] dz \\ \{K_{\theta 3}\} &= G(I_p - I_B) \int_0^L [B_{\Psi\theta}]^T [B_{\Psi\theta}] dz \\ \{F_\theta\} &= \int_0^L m(z) [N_\theta]^T dz \\ \{F_m\} &= \{M(0) M_B(0) M(L) M_B(L)\} \end{aligned} \quad (24)$$

با جایگزینی مقادیر بالا در معادله (۲۳)، معادله (۲۵) به دست می آید:

$$\{K_\theta\}\{\phi\} = \{F_\theta\} + \{F_m\}, \quad \{K_\theta\} = \{K_{\theta 1}\} + \{K_{\theta 2}\} + \{K_{\theta 3}\} \quad (25)$$

در معادله های بالا، $\{F_\theta\}$ بردار بارهای گرهی معادل، $\{F_m\}$ بردار بارهای مرکز در گرهها، $\{K_{\theta 1}\}$ ماتریس سختی پیچش آزاد، $\{K_{\theta 2}\}$ ماتریس سختی پیچش گیردار و $\{K_{\theta 3}\}$ ماتریس سختی مربوط به اثر تنشهای برشی ثانویه روی تغییر شکلهای تابیدگی مقطع است. همان طور که پیش ازین نیز اشاره شد ماتریس سختی به دست آمده قابل استفاده برای تحلیل مقاطع جدارنازک باز، بسته و نیمه بسته است. برای مقاطع جدارنازک باز، $J_B = J_S = J$ است. ماتریس سختی جزء محدود در پیوست ارائه شده است.

۲-۳ تنشها و نیروهای داخلی در جزء محدود
تنشها و نیروهای داخلی در هر نقطه از جزء را می توان با کاربرد معادله های (۸)، محاسبه کرد و سپس نیروهای داخلی ناشی از تغییر شکلهای



شکل ۲- تیر طرهای با مقاطع باز نامتقارن

جدول ۱ - مقایسه نتایج تحلیل با روش ولسوف و روش پیشنهادی

روش تحلیل	تعداد جزء	زاویه چرخش rad	تاییدگی rad/cm	زوج لنگر در ° t/cm²
	۱	۰/۲۱۷۷۵	۰/۰۰۱۰۲۷۱	۰/۰۰۴۸۹
روش پیشنهادی	۴	۰/۲۱۷۲۷	۰/۰۰۱۰۲۰۹	۰/۰۰۴۸۷
	۸	۰/۲۱۷۱۰	۰/۰۰۱۰۲۰	۰/۰۰۴۸
روش ولسوف [۷]	-	۰/۲۱۷۱۹	۰/۰۰۱۰۸۴۶	۰/۰۰۴۹

۳ - ۱ تیر جدار نازک با مقاطع باز نامتقارن

یک تیر طرهای با مقاطع باز نامتقارن مطابق شکل (۲)، تحت اثر لنگر پیچشی مرکز که در انتهای آن است مورد تحلیل قرار می‌گیرد. مقدار لنگر پیچشی مؤثر $t \cdot cm = 23/0.6$ و طول تیر $254 cm$ است. مدول الاستیسیته و مدول برشی برابرند با $E = 211 t/cm^2$ و $G = 810 t/cm^2$. پارامترهای سازه‌ای عبارت اند از:

$$I_w = 190.70 cm^4, J_s = 27/75 cm^4, J_b = 0, I_p = I_{xc} + I_{yc} = 27/75 cm^4$$

نتایج تحلیل با استفاده از روش ولسوف و روش پیشنهادی در جدول (۱) درج شده است.

اعداد متدرج در جدول (۱) نشان می‌دهند که اختلاف بسیار کمی بین نتایج روش ولسوف و روش پیشنهادی وجود دارد. از این رو می‌توان چنین برداشت کرد که تنشهای برشی ثانویه در مقاطع باز

$$\{F\} = \int_0^L m(z) [N_\theta]^T dz \quad (30)$$

اگر در معادله بالا، $[N_\theta]$ از معادله (۲۲) جایگزین شود، بارهای گرهی معادل به صورت زیر خواهد شد:

$$\{F\} = \{M(z)_1, M_B(z)_1, M(z)_2, M_B(z)_2\} \quad (31)$$

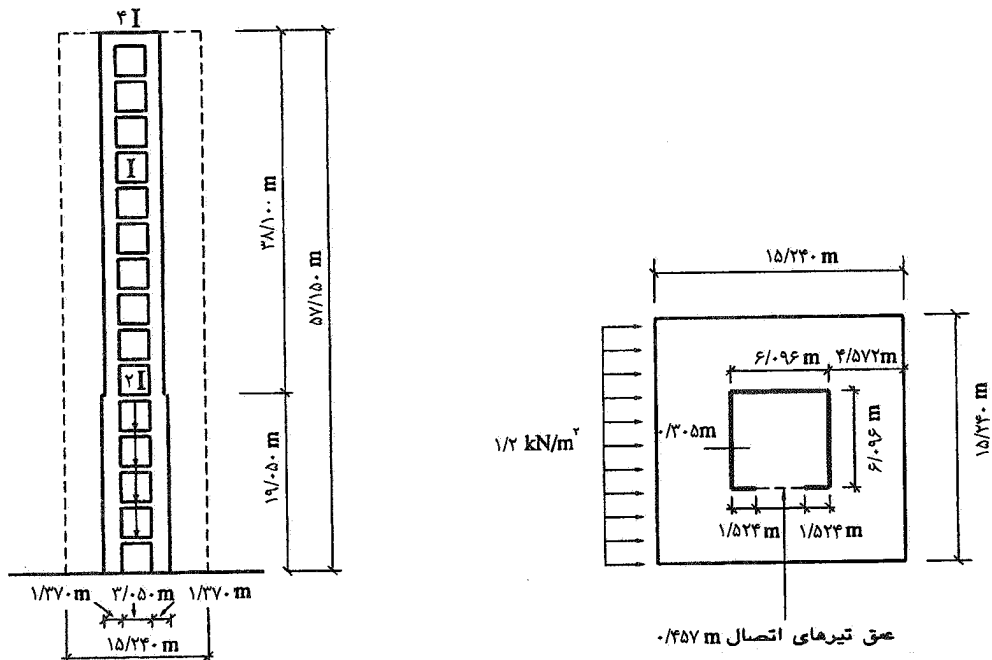
لنگر پیچشی گرهی و $M_B(z)$ زوج لنگر گرهی $M(z)$ از معادله‌های ارائه شده در پیوست محاسبه می‌شوند. در صورتی که علاوه بر بارهای گسترده، بارهای مرکز نیز بر گرههای جزء وارد شوند، باید با بارهای گرهی معادل جمع شوند.

۳ - مثال

در مثالهای زیر ابعاد اعضای مشابه کار پیشینیان در نظر گرفته شده و صرفاً به منظور مقایسه انتخاب شده‌اند.

جدول ۲ - پارامترهای سازه‌ای هسته باز یا مقطع متغیر

پارامترها	واحد	تراز	تراز	تراز
$\Delta H / 10m$		$0.2 / 34m$		$19 / 0.0 m$
$3 / 36$	m	$3 / 36$	$3 / 25$	e_x
$0 / 30.0$	m	$0 / 30.0$	$0 / 61$	t
$0 / 19.2$	m^4	$0 / 30.0$	$1 / 0.34$	J_s
$0 / 800$	m^4	$1 / 464$	$2 / 93$	J_b
$300 / 22$	m^6	$300 / 22$	$900 / 44$	I_ω
$161 / 93$	m^4	$161 / 93$	$275 / 83$	I_p
$39 / 64 \times 10^{-4}$	I_b	$9 / 91 \times 10^{-4}$	$19 / 1.2 \times 10^{-4}$	

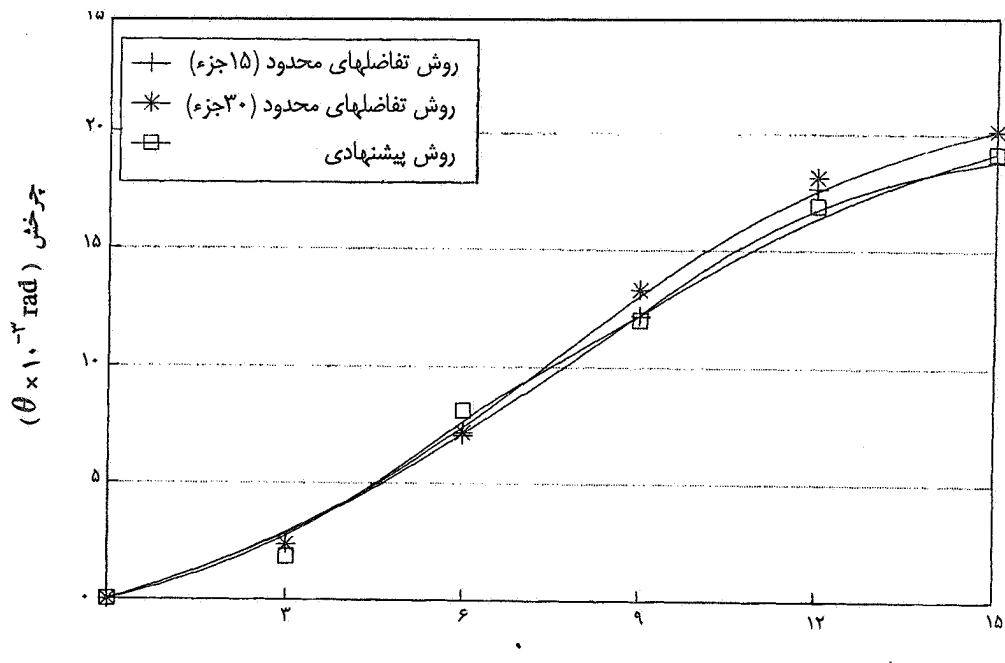


شکل ۳ - پلان ساختمان و نمای هسته برشی

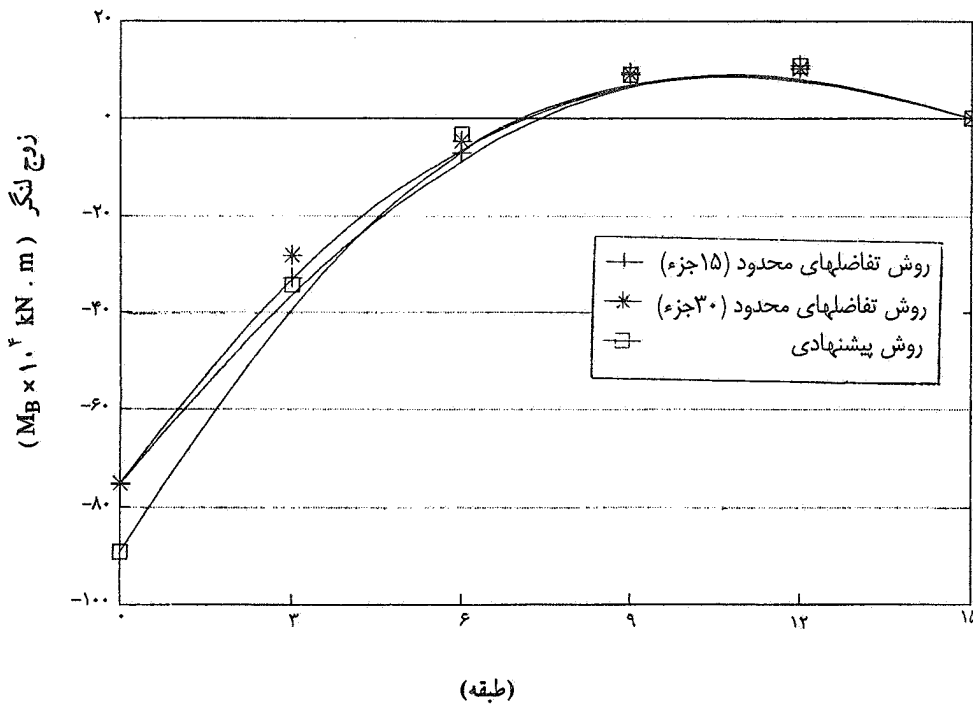
آن در ارتفاع تغییر می‌کند، تحمل می‌شود. این هسته در تراز طبقات توسط تیرهای اتصالی بسته شده است. ضخامت این هسته در ۵ طبقه اول 0.61 m و در بقیه طبقات 0.305 m است. عمق تیرهای اتصالی برابر 457 mm و عرض آنها برای مممان اینرسی I برابر 125 mm^4 است. مدول الاستیسیته و مدول برشی هسته به ترتیب $27/6 \times 10^6\text{ kN/m}^2$ و $12 \times 10^6\text{ kN/m}^2$ هستند. پارامترهای سازه‌ای این هسته در جدول (۲) نوشته شده است.

عملًا برابر صفرند. بنابراین، صرف نظر کردن از تغییر شکل‌های پرشی در روش ولاسوف برای مقاطعه جدارنازک یا ز قابل توجیه است.

۲-۳ هسته برشی باز با مقطع متغیر یک ساختمان به ارتفاع ۱۵/۵۷ متر شامل ۱۵ طبقه ۳/۸۱ متری، مطابق پلان شکل (۳)، تحت فشار گسترده باد به شدت $2 kN/m^2$ قرار گرفته است. بارهای ناشی از فشار باد و پیچش در این ساختمان توسط یک هسته آسانسور با مقطع باز که سطح مقطع



شکل ۴ - چرخش هسته برشی در تراز طبقات



شکل ۵ - زوج لنگر در تراز طبقات

۴ - نتیجه گیری
کنشهای خمشی سازه‌های جدارنازک رامی‌توان مانند یک طرہ قائم تحلیل کرد. کنشهای تابیدگی سازه‌های جدارنازک با مقطع یکنواخت و تحت اثر پیچش نیز توسط معادله‌سازی و حل معادلات

این هسته برشی با استفاده از روش تفاضلهای محدود [۶و۷] و جزء پیشنهادی تحلیل شده است که نتایج تحلیل در شکل‌های (۴) و (۵) با یکدیگر مقایسه شده‌اند.

دیفرانسیل پیچش محاسبه می شود.

رفتار سازه هایی را که خواص هندسی آنها در برخی از ترازهای ارتفاعی، متغیر است، نمی توان به آسانی با کاربرد معادلات دیفرانسیل پیچش تبیین کرد. محاسبه تغییر شکلهای این سازه ها نیازمند یک تحلیل سه بعدی است. تحلیل رفتاری سازه با کمک اجزای محدود مناسبترین روش موجود است. نتایج تحلیل عددی جزء محدود پیشنهادی نشان می دهد که صرف نظر کردن از تنشهای

برشی ثانویه در مقاطع جدارنازک بسته و تیمه بسته بین ۱۰ درصد تا ۲۰ درصد خطأ خواهد داشت، ولی این خطأ در مقاطع باز نزدیک به صفر است. همچنین صرف نظر کردن از تغییر شکلهای برشی سبب افزایش زوج لنگر در تکیه گاه و کاهش تابیدگی در انتهای هسته می شود. جزء محدود پیشنهادی ضمن سهولت و تسريع در تحلیل رفتاری تیرهای جدارنازک، در مقایسه با روش های دیگر نتایج دقیق تری ارائه می دهد.

مراجع

1. Vlasov, V. Z., *Thin-Walled Elastic Beams*, Translated from Russian by Y. Schechtman, National Science Foundation, Washington D.C., 1961.
2. Vlasov, V. Z., "A Vlasov Beam Element," *Computers and Structures*, Vol. 33, No. 1, pp. 187-196, 1989.
3. Benscoter, S. U., "A Theory of Torsion and Bending of Multicell Beams," *Journal of Applied Mechanics*, Vol. 21, No. 1, March 1954.
4. Chen, B. Z., and Y. R. HU, "The Torsional Stiffness Matrix of a Thin-Walled Beam and its Application to Beams Under Combined Loading," *Computers and Structures*, Vol. 28, No. 3, pp. 421-431, 1988.
5. Rutenberg, A., "Torsional Analysis Method for Perforated Cores," *Journal of Structural Engineering Division, ASCE*, Vol. 112, No. 6, pp. 1207-1227, June 1986.
6. Tso, W. K., and J. K. Biswas, "Analysis of Core-Wall Structures Subjected to Applied Torque," *Building Science*, Vol. B, pp. 251-257, 1973.
7. Liauw, T. C., and W. K. Luk, "Torsion of Core-Wall of Non-Uniform Sections," *Journal of Structural Engineering Division, ASCE*, pp. 1921-1931, September 1980.

پیوست

ماتریس سختی جزء محدود پیشنهادی

ماتریس سختی جزء محدود پیشنهادی از سه بخش تشکیل شده است. بخش اول شامل اثرات پیچش خالص، بخش دوم اثرات تابیدگی و بخش سوم اثر تنشهای برش ثانویه روی تغییر شکلهای تابیدگی بوده و به صورت زیر است.

$$[k_{\theta}] = [k_{\theta_1}] + [k_{\theta_2}] + [k_{\theta_3}]$$

$[K_{\theta_1}] = GJ$	<table border="1" style="width: 100%; border-collapse: collapse;"> <tr> <td>S_1</td> <td>S_2</td> <td>$-S_1$</td> <td>S_2</td> <td></td> </tr> <tr> <td></td> <td>S_2</td> <td>$-S_2$</td> <td>S_1</td> <td></td> </tr> <tr> <td></td> <td></td> <td>Sym</td> <td>S_1</td> <td>$-S_2$</td> </tr> <tr> <td></td> <td></td> <td></td> <td></td> <td>S_2</td> </tr> </table>	S_1	S_2	$-S_1$	S_2			S_2	$-S_2$	S_1				Sym	S_1	$-S_2$					S_2
S_1	S_2	$-S_1$	S_2																		
	S_2	$-S_2$	S_1																		
		Sym	S_1	$-S_2$																	
				S_2																	
$[K_{\theta_2}] = EI\omega$	<table border="1" style="width: 100%; border-collapse: collapse;"> <tr> <td>A_1</td> <td>A_2</td> <td>$-A_1$</td> <td>A_2</td> <td></td> </tr> <tr> <td></td> <td>A_2</td> <td>$-A_2$</td> <td>A_1</td> <td></td> </tr> <tr> <td></td> <td></td> <td>A_1</td> <td>$-A_2$</td> <td></td> </tr> <tr> <td></td> <td></td> <td></td> <td>Sym</td> <td>A_2</td> </tr> </table>	A_1	A_2	$-A_1$	A_2			A_2	$-A_2$	A_1				A_1	$-A_2$					Sym	A_2
A_1	A_2	$-A_1$	A_2																		
	A_2	$-A_2$	A_1																		
		A_1	$-A_2$																		
			Sym	A_2																	
$[K_{\theta_3}] = G(I_p - J_B)$	<table border="1" style="width: 100%; border-collapse: collapse;"> <tr> <td>C_1</td> <td>C_2</td> <td>$-C_1$</td> <td>C_2</td> <td></td> </tr> <tr> <td></td> <td>C_2</td> <td>$-C_2$</td> <td>C_1</td> <td></td> </tr> <tr> <td></td> <td></td> <td>C_1</td> <td>$-C_2$</td> <td></td> </tr> <tr> <td></td> <td></td> <td></td> <td>Sym</td> <td>C_2</td> </tr> </table>	C_1	C_2	$-C_1$	C_2			C_2	$-C_2$	C_1				C_1	$-C_2$					Sym	C_2
C_1	C_2	$-C_1$	C_2																		
	C_2	$-C_2$	C_1																		
		C_1	$-C_2$																		
			Sym	C_2																	
$[K_{\theta}] =$	<table border="1" style="width: 100%; border-collapse: collapse;"> <tr> <td>K_1</td> <td>K_2</td> <td>$-K_1$</td> <td>K_2</td> <td></td> </tr> <tr> <td></td> <td>K_2</td> <td>$-K_2$</td> <td>K_1</td> <td></td> </tr> <tr> <td></td> <td></td> <td>K_1</td> <td>$-K_2$</td> <td></td> </tr> <tr> <td></td> <td></td> <td></td> <td>Sym</td> <td>K_2</td> </tr> </table>	K_1	K_2	$-K_1$	K_2			K_2	$-K_2$	K_1				K_1	$-K_2$					Sym	K_2
K_1	K_2	$-K_1$	K_2																		
	K_2	$-K_2$	K_1																		
		K_1	$-K_2$																		
			Sym	K_2																	

$$K_1 = GJS_1 + EI\omega A_1 + G(I_p - J_B)C_1 \quad K_2 = GJS_2 + EI\omega A_2 + G(I_p - J_B)C_2$$

$$K_1 = GJS_1 + EI\omega A_1 + G(I_p - J_B)C_1 \quad K_2 = GJS_2 + EI\omega A_2 + G(I_p - J_B)C_2$$

$$S_1 = \frac{1}{\lambda p} \{ \gamma e^{\gamma H_y} (a+b-d)^2 - \lambda abe^{H_y} (a+b-d) - \lambda abe^{-H_y} (a-b-d) - \gamma e^{-\gamma H_y} (a-b-d)^2 \\ + \gamma H[a^2(\gamma b^2 - \gamma^2) + \gamma ab\gamma^2 + \gamma^2(b^2 - d^2) + b(\gamma a^2 - a(\gamma d + \gamma) + d\gamma)] \}$$

$$S_2 = \frac{1}{\lambda p} \{ \gamma e^{\gamma H_y} (a+b-d)(H(b-d)-c+s+1) - \gamma e^{H_y} (Ha b(b-d) - a(b(c-\gamma s-1) + d(c-1))) \\ + (b-d)(bs-d)(c-1) + \gamma e^{-H_y} (Ha b(b+d) - a(b(c+\gamma s-1) - d(c-1)) + (bs-d(c-1)(b+d))) \}$$

$$+ \gamma e^{-\gamma H} (a-b-d)(H(b+d)-c-s+1) + \gamma H(a(\gamma b^s - b(\gamma cd + \gamma)) - \gamma s \\ + \gamma(dys - b(c\gamma - d\gamma) + a(\lambda bs + (\gamma - \gamma d)(c-1))) - bs(\gamma d - \gamma)(c-1))) \}$$

$$S_r = \frac{1}{\lambda p} \{ \gamma e^{\gamma H} (H(b-d)-c+s+1)^r - \gamma e^{H} (bs-d(c-1))(H(b-d)-c+s+1) \\ + \gamma e^{-H} (bs-d(c-1)) (H(b-d)-c+s+1) - \gamma e^{-\gamma H} (H(b+d)-c-s+1)^r + \gamma (H^r \gamma^r (b^r - d^r) \\ + H^r \gamma (\gamma dys - b(\gamma c - d\gamma) + H(\gamma b^s - bs(\gamma cd + \gamma) + c^r (\gamma d^r + \gamma^r) \\ - c\gamma(d + \gamma b) - \gamma d^r + \gamma(d\gamma(1-s)^r)) + s(\gamma bs + (\gamma - \gamma d)(c-1))) \}$$

$$S_r = \frac{1}{\lambda p} \{ \gamma e^{\gamma H} (H(b-d)-c+s+1)(Ha+c-s-1) + \gamma e^{H} ((c-s-1)(a(c-1)-bs+d(c-1)) \\ - Ha(b(c+s-1) + \gamma d(1-c)) + \gamma e^{-H} (Ha(b(c-s-1) + \gamma d(c-1)) - (c+s-1) - (a(c-1) \\ - bs+d(c-1)) + \gamma e^{-\gamma H} (H(b+d)-c-s+1)(Ha-c-s+1) + \gamma (\gamma H^r ady^r \\ - H^r \gamma (a(b + \gamma s) + \gamma (ds - b(c-1)) + H(a(\gamma bcs + (\gamma cd + \gamma d - \gamma)(1-c) + \gamma (bs - \gamma c^r \\ + c(d + \gamma) - d + \gamma(s^r - 1)) + \gamma s(\gamma a(c-1) - \gamma bs + (\gamma d - \gamma)(c-1))) \})$$

$$A_1 = \frac{1}{\lambda p} \{ \gamma a^r e^{\gamma H} (a+b+d)^r - \gamma a^r e^{-\gamma H} (a-b-d)^r + \gamma a^r (H^r (a+b-d) + b(d-a)) \}$$

$$A_r = \frac{1}{\lambda p} \{ \gamma a^r e^{\gamma H} (a+b-d)(H(b-d)-c+s+1) + \gamma a^r e^{-\gamma H} (a-b-d)(H(b+d)-c-s+1) \\ - \gamma a^r (\gamma H^r (ad + (b^r - d^r) + H(a(b - \gamma s) + \gamma (dys - b(\gamma c + d\gamma)))) + a(1-c) + bs + d(c-1)) \} \\ A_r = \frac{1}{\lambda p} \{ \gamma a^r e^{\gamma H} (H(b-d)-c+s+1)^r - \gamma a^r e^{-\gamma H} (H(b+d)-c+s+1)^r - \gamma a^r (\gamma H^r (b^r - d^r) \\ + H^r (a(b - \gamma s) + \gamma (b(c-1) - ds)) - H(a(c-1) + bs + \gamma c^r + c(d - \gamma) - d(1-s^r)) + \gamma s(c-1)) \}$$

$$A_r = \frac{1}{\lambda p} \{ \gamma a^r e^{\gamma H} (H(b-d)-c+s+1)(Ha+c-s-1) + \gamma a^r e^{-\gamma H} (H(b+d)-c+s+1)(Ha-c-s+1) \\ - \gamma a^r (\gamma H^r ady + H^r (a(b - \gamma s) + \gamma (b(c-1) - ds)) - H(a(c-1) + bs + \gamma c^r + c(d - \gamma) - d \\ + \gamma(s^r - 1)) + \gamma s(c-1)) \}$$

$$C_1 = \frac{1}{\lambda p \gamma} \{ e^{\gamma H} (a-\gamma)^r (a+b-d)^r - e^{-\gamma H} (a-\gamma)^r (a-b-d)^r - \gamma (a-\gamma)^r (H^r (a+b-d)(a-b-d) + b(a-d)) \}$$

$$C_r = \frac{1}{\lambda p \gamma} \{ e^{\gamma H} (a-\gamma)^r (a+b-d)(H(b-d)-c+s+1) + e^{-\gamma H} (a-\gamma)^r (a-b-d)(H(b+d)-c+s+1) \\ + \gamma (a+\gamma)^r (\gamma H^r \gamma (ad + (b^r - d^r))) - H(a(b + \gamma s) + \gamma (b(c\gamma - d\gamma) - dys)) + a(c-1) - bs + d(1-c) \}$$

$$C_r = \frac{1}{\lambda p \gamma} \{ e^{\gamma H} (a-\gamma)^r (H(b-d)-c+s+1)^r - e^{-\gamma H} (a-\gamma)^r (H(b+d)-c-s+1)^r + \gamma (a-\gamma)^r (H^r \gamma (b^r - d^r) \\ + H^r (\gamma dys - b(\gamma c - d\gamma)) - H(bs - \gamma c^r + c(d + \gamma) - d + \gamma(s^r - 1) + s(c-1))) \}$$

$$C_r = \frac{1}{\lambda p \gamma} \{ e^{\gamma H} (a-\gamma)^r (H(b-d)-c+s+1) + (Ha+c-s-1) + e^{-\gamma H} (a-\gamma)^r (H(b+d)-c-s+1)$$

$$\times(Ha-c-s+1) + \gamma(a-\gamma)^r (\gamma H^r ad\gamma - H^r (a(b+\gamma s) + \gamma (ds-b(c-1))) + H(a(c-1) \\ + bs - \gamma c^r \gamma + c(d+\gamma) - d + \gamma(s^r - 1) + \gamma s(1-c)) \}$$

$$a = (\gamma + \alpha\gamma^r), \quad p = (Ha b + a(c-1) + bs + d(c-1)) \\ c = \cosh(\gamma H), \quad s = \sinh(\gamma H), \quad b = sa, \quad d = ca$$

بارهای گرهی معادل

$$M_{z1} = M_{zr} = m(z) \frac{H}{\gamma} \\ M_B(z)_1 = \frac{1}{\gamma \gamma P} \{ e^{-H\gamma} (Ha-c-s+1) - e^{H\gamma} (Ha-c-s-1) \} + (H^r a(c+1) - \gamma H \gamma s + \gamma(c-1)) \} \\ M_B(z)_r = -M_B(z)_1$$